

## РАСЧЕТ И КОНСТРУИРОВАНИЕ МАШИН

621.01

### ВЛИЯНИЕ ДЕФОРМАЦИИ ПОПЕРЕЧНОГО СДВИГА И ИНЕРЦИИ ВРАЩЕНИЯ НА КОЛЕБАНИЯ БАЛОК С ОДНОСТОРОННИМИ СВЯЗЯМИ БОЛЬШОЙ ЖЕСТКОСТИ

*Канд. техн. наук, доц. И. Е. ЛЮМИНАРСКИЙ*

*Предложен численный метод расчета колебаний балки С.П. Тимошенко с односторонними связями повышенной жесткости. Рассматривается влияние инерции вращения и деформации поперечного сдвига сечений на реакцию и зазор между односторонней связью, имеющей форму сферической поверхности и балкой, совершающей свободные колебания. Исследуется сходимость получаемого решения.*

Численным методам расчета колебаний тонкостенных элементов, движение которых ограничено односторонними связями (ОС), посвящены работы [1,2], где изложенные методы применяются для систем, в которых жесткость упругого тела и ОС имеют один порядок. Если жесткость ОС на несколько порядков выше жесткости упругого тела, то расчеты методами, рассмотренными в [1,2], затруднены из-за больших затрат машинного времени.

В [3] предлагается численный метод расчета упругих систем с ОС большой жесткости. Этот метод позволил исследовать колебания тонких балок с ОС, выполненных в виде стержней с закругленными концами. В этой работе использовалось уравнение колебания балок, основанное на гипотезах Кирхгофа–Лява.

Колебания балок с ОС большой жесткости относятся к классу задач с сильными нелинейностями как по пространственной, так и по временной координате. В таких системах возможно появление зон больших градиентов перемещений во времени и про-

странстве. В связи с этим необходимо исследовать влияние деформации поперечного сдвига и инерции вращения сечений на колебания балки с ОС.

Уравнения поперечных колебаний балки, учитывающие инерцию вращения сечений и деформацию поперечного сдвига, впервые записал С.П. Тимошенко [4].

$$\frac{\partial^2 w}{\partial x^2} - \frac{\partial \psi}{\partial x} + \frac{P}{kGs} = \frac{\partial^2 w}{c_k^2 \partial t^2}; \quad (1)$$

$$\frac{\partial^2 \psi}{\partial x^2} + Cc_k^2 \left( \frac{\partial w}{\partial x} - \psi \right) = \frac{\partial^2 \psi}{c_b^2 \partial t^2}, \quad (2)$$

где  $w$  – перемещение сечений балки от изгиба;  $\psi$  – угол поворота сечений балки от изгиба;  $c_k^2 = \frac{kG}{\rho}$ ;  $c_b^2 = \frac{E}{\rho}$ ;  $C = \frac{\rho s}{EI}$ ;  $k$  – коэффициент сдвига;  $s$  – площадь поперечного сечения балки;  $G$  – модуль сдвига;  $\rho$  – плотность;  $E$  – модуль упругости;  $EI$  – изгибная жесткость балки;  $P$  – внешняя нагрузка.

Граничные условия для основных видов закрепления балки записываются в виде: шарнирное опирание  $w = 0, \frac{\partial \psi}{\partial x} = 0$ ; заделанный край –  $w = 0, \psi = 0$ ; свободный край  $\frac{\partial w}{\partial x} - \psi = 0, \frac{\partial \psi}{\partial x} = 0$ .

Систему уравнений, описывающую колебания балки по С.П. Тимошенко с односторонними связями, можно представить в виде

$$\mathbf{A}(\mathbf{u}) + \mathbf{C}(\mathbf{u}) = \mathbf{p} + \sum_{j=1}^L d_j \delta(x - x_j) \mathbf{R}_j; \quad (3)$$

$$R_i(t) \geq 0, \quad i = 1, \dots, L; \quad (4)$$

$$\Delta_i(t) = d_i w(x_i, t) + \lambda(R_i(t)) + \Delta_{0i} \geq 0, \quad i = 1, \dots, L; \quad (5)$$

$$R_i(t) \Delta_i(t) = 0, \quad i = 1, \dots, L. \quad (6)$$

В этих уравнениях введены следующие обозначения:  $\mathbf{u} = \{w(x, t), \psi(x, t)\}^T$ ;  $\mathbf{p} = \{p(x, t), 0\}^T$ ;  $\mathbf{R}_j(t) = \{R_j(t), 0\}^T$ ;  $R_i(t), \Delta_i(t)$  – функции реакции и зазора в ОС с номером  $i$ ;  $x_i$  – координата ОС с номером  $i$ ;  $\delta(x - x_i)$  – функция Дирака;  $\Delta_{0i}$  – зазор между ОС с номером  $i$  и балкой в недеформированном состоянии;  $d_i = -1$ , если  $i$ -ая ОС ограничивает перемещение балки в положительном направлении действия внешней

нагрузки  $p(x, t)$ , в противном случае  $d_i = 1$ ;  $\lambda(R_i(t))$  – абсолютная деформация ОС с номером  $i$ ;  $L$  – число ОС;

$$\mathbf{A}(\mathbf{u}) = \begin{Bmatrix} \rho s \frac{\partial^2 w}{\partial t^2} \\ \frac{\partial^2 \psi}{c_b \partial t^2} \end{Bmatrix}; \quad \mathbf{C}(\mathbf{u}) = \begin{Bmatrix} -kGs \left( \frac{\partial^2 w}{\partial x^2} - \frac{\partial \psi}{\partial x} \right) \\ -\frac{\partial^2 \psi}{\partial x^2} - Cc_k^2 \left( \frac{\partial w}{\partial x} - \psi \right) \end{Bmatrix}.$$

Решение системы уравнений (3)–(6) можно представить в виде

$$\mathbf{u}(x, t) = \mathbf{u}_o(x, t) + \mathbf{u}_p(x, t) + \sum_{j=1}^L d_j \int_0^t R_j(\tau) \mathbf{u}_{G_j}(x, t - \tau) d\tau, \quad (7)$$

где  $\mathbf{u}_o(x, t)$  – решение однородного уравнения  $\mathbf{A}(\mathbf{u}_o) + \mathbf{C}(\mathbf{u}_o) = \mathbf{0}$  с граничными и начальными условиями исходной задачи;  $\mathbf{u}_p(x, t)$  – решение неоднородного уравнения  $\mathbf{A}(\mathbf{u}_p) + \mathbf{C}(\mathbf{u}_p) = \mathbf{p}$  с граничными условиями исходной задачи и нулевыми начальными условиями;  $\mathbf{u}_{G_j}(x, t - \tau) = \{w_{G_j}(x, t - \tau), \psi_{G_j}(x, t - \tau)\}^T$  – функция Грина, т.е. решение однородного уравнения  $\mathbf{A}(\mathbf{u}_{G_j}) + \mathbf{C}(\mathbf{u}_{G_j}) = \mathbf{0}$  с граничными условиями исходной задачи и полуоднородными начальными условиями ( $\mathbf{u}_{G_j} = \mathbf{0}$ ,  $\frac{\partial \mathbf{u}_{G_j}}{\partial t} = \mathbf{0}$  при  $t \neq \tau$ ,

$$\frac{\partial \mathbf{u}_{G_j}}{\partial t} = \{\delta(x - x_j), 0\}^T \text{ при } t = \tau).$$

Разложим реакции в односторонних связях в ряд

$$R_j(t) = \sum_{\alpha=0}^m R_j^\alpha f_\alpha(t), \quad (8)$$

где  $f_\alpha(t)$  – линейные финитные функции [5] ( $f_\alpha = 0$ , если  $t \notin (t_{\alpha-1}, t_\alpha)$ ,  $t_\alpha = \alpha \cdot \Delta t$ ;  $\Delta t = T/m$ );  $T$  – время движения;  $R_j^\alpha$  – реакция в  $j$ -ой ОС в момент времени  $t_\alpha$ .

Считается, что односторонние связи имеют форму сферической поверхности. Их местное сближение с балкой  $\lambda$  определяется по формуле Герца

$$\lambda = kR^{\frac{2}{3}}, \quad (9)$$

где  $k = \left( \frac{3(1-\mu^2)}{2E\sqrt{r}} \right)^{\frac{2}{3}}$ ;  $r$  – радиус поверхности ОС;  $\mu$  – коэффициент Пуассона.

В расчетах зависимость (9) представляется в виде

$$\lambda = \delta(R)R, \quad (10)$$

где  $\delta(R) = kR^{-\frac{1}{3}}$  – податливость эквивалентной линейной ОС.

Если подставить (8) в (7), а полученный результат и (10) подставить в (5), то разрешающая система уравнений для момента времени  $t_\alpha$  примет вид

$$(\mathbf{V} + \Lambda^\alpha)\mathbf{R}^\alpha - \Delta^\alpha = \mathbf{b}^\alpha; \quad (11)$$

$$R_i^\alpha \geq 0; \quad \Delta_i^\alpha = 0; \quad R_i^\alpha \cdot \Delta_i^\alpha = 0, \quad i = 1, \dots, L; \quad (12)$$

где  $\mathbf{b}^\alpha = -[\Delta_0 + \sum_{\beta=0}^{\alpha-1} \mathbf{K}^{\alpha\beta} \mathbf{R}^\beta + \mathbf{D}(\mathbf{w}_O^\alpha + \mathbf{w}_P^\alpha)]$ ;  $\mathbf{K}^{\alpha\beta}$  – матрицы размерности  $L \times L$ , эле-

менты которых определяются по формуле  $K_{ij}^{\alpha\beta} = d_i d_j \int_{t_{\beta-1}}^{t_{\beta+1}} f_\beta(\tau) w_{G_j}(t_\alpha - \tau, x_i) d\tau$ ;

$\mathbf{V} = \mathbf{K}^{\alpha\beta}|_{\alpha=\beta}$ ;  $\Lambda^\alpha$  – диагональная матрица, элементами которой являются податливости эквивалентных линейных ОС  $\delta_i^\alpha$  в момент времени  $t_\alpha$ ;  $\mathbf{R}^\alpha$  – вектор реакций в ОС в момент времени  $t_\alpha$ ;  $\Delta^\alpha$  – вектор зазоров между балкой и ОС в момент времени  $t_\alpha$ ;  $\mathbf{D}$  – диагональная матрица, элементами которой являются параметры  $d_i$ ;

$\mathbf{w}_O^\alpha = \{w_O(x_1, t_\alpha), \dots, w_O(x_i, t_\alpha), \dots, w_O(x_L, t_\alpha)\}^T$  – вектор решений однородного уравнения в точках контакта балки с ОС в момент времени  $t_\alpha$ ;

$\mathbf{w}_P^\alpha = \{w_P(x_1, t_\alpha), \dots, w_P(x_i, t_\alpha), \dots, w_P(x_L, t_\alpha)\}^T$  – вектор решений неоднородного уравнения в точках контакта балки с ОС в момент времени  $t_\alpha$ ;  $\Delta_0$  – вектор зазоров между недеформированной балкой и ОС.

Система (11) – (12) разрешима относительно вектора реакций  $\mathbf{R}^\alpha$  и вектора зазоров  $\Delta^\alpha$ , если известны векторы реакций  $\mathbf{R}^\beta$  в моменты времени  $t_\beta$  ( $\beta = 0, 1, \dots, \alpha - 1$ ).

Поэтому векторы  $\mathbf{R}^\alpha$  и  $\Delta^\alpha$  из (11) – (12) определяются последовательно для  $\alpha = 1, 2, \dots, m$ .

Поскольку матрица податливостей  $\Lambda^\alpha$  зависит от вектора реакций  $\mathbf{R}^\alpha$ , то для каждого момента времени  $t_\alpha$  система (11) – (12) решается с помощью итерационного

уточнения. На первой итерации решается система (11) – (12), в которой  $\delta_i^\alpha = \delta_i^{\alpha-1}$  ( $i = 1, \dots, L$ ). Решение этой задачи ведется одним из методов статического расчета упругих систем с линейными ОС, например, методом последовательных приближений [6]. Далее по найденному вектору  $\mathbf{R}^\alpha$  уточняются податливости ОС  $\delta_i^\alpha$  и делается следующая итерация.

Если число узловых точек по времени  $m$  очень большое, то расчет будет невозможен из-за недопустимо большого объема памяти необходимого для хранения матриц  $\mathbf{K}^{\alpha,1}$  ( $\mathbf{K}^{\alpha,\beta} = \mathbf{K}^{\alpha-\beta+1,1}$ ). В этом случае промежуток времени, на котором определяется решение, разбивается на интервалы. Переход от одного интервала к другому сопровождается введением нового отсчета времени. Каждый интервал начинается с времени  $t = 0$ . При переходе от одного интервала к другому матрицы  $\mathbf{K}^{\alpha,1}$  не меняются. В начале каждого интервала пересчитывается решение однородного уравнения  $\mathbf{u}_o(x, t)$ .

Функции  $\mathbf{u}_o(x, t)$ ,  $\mathbf{u}_p(x, t)$  и  $\mathbf{u}_{G_j}(x, t - \tau)$  определяются путем разложения решения в ряд по собственным формам колебаний.

Решение однородного уравнения колебаний балки С.П. Тимошенко представляется в виде

$$\mathbf{u}_o(x, t) = \sum_{j=1}^{\infty} \mathbf{u}_j (B_j \cos(\omega_j t) + C_j \sin(\omega_j t)), \quad (13)$$

где  $\mathbf{u}_j = \{\omega_j, \psi_j\}^T$ ,  $\omega_j$  – нормированные по кинетической энергии собственные формы и собственные частоты колебаний балки С.П. Тимошенко.

Коэффициенты  $B_j$  и  $C_j$  находятся из начальных условий движения по формулам [7]

$$B_j = \frac{\langle \mathbf{A}(\mathbf{u}_j), \mathbf{u}(x, 0) \rangle}{\langle \mathbf{A}(\mathbf{u}_j), \mathbf{u}_j \rangle}, \quad C_j = \frac{\langle \mathbf{A}(\mathbf{u}_j), \frac{\partial \mathbf{u}(x, t)}{\partial t} \Big|_{t=0} \rangle}{\langle \mathbf{A}(\mathbf{u}_j), \mathbf{u}_j \rangle}, \quad (14)$$

где  $\langle \dots, \dots \rangle$  – скалярное произведение двух функций.

Для получения  $\mathbf{u}_p$  применим уравнение Лагранжа второго рода

$$\frac{\partial}{\partial t} \left( \frac{\partial L}{\partial q'_j} \right) - \frac{\partial L}{\partial q_j} = 0, \quad (15)$$

где  $L = L(\mathbf{q}, \mathbf{q}', t) = T - \Pi$  – функционал Лагранжа,  $\mathbf{q}, \mathbf{q}'$  – векторы обобщенных координат и скоростей.

Если решение уравнения (15) представить в виде ряда

$$\mathbf{u}_p(x, t) = \sum_{j=1}^{\infty} q_j(t) \mathbf{u}_j(x), \quad (16)$$

то функционалы кинетической и потенциальной энергий примут вид

$$T = \frac{1}{2} \sum_{j=1}^{\infty} \sum_{i=1}^{\infty} \langle \mathbf{u}_j, \mathbf{u}_i \rangle_A q_j' q_i'; \quad \Pi = \frac{1}{2} \sum_{j=1}^{\infty} \sum_{i=1}^{\infty} \langle \mathbf{u}_j, \mathbf{u}_i \rangle_C q_j q_i - \sum_{j=1}^{\infty} \langle P, w_j \rangle q_j,$$

где  $\langle \mathbf{u}_i, \mathbf{u}_j \rangle_A, \langle \mathbf{u}_i, \mathbf{u}_j \rangle_C$  – скалярные произведения по кинетической и потенциальной энергиям.

Нормированные по кинетической энергии собственные формы удовлетворяют условиям  $\langle \mathbf{u}_i, \mathbf{u}_j \rangle_A = 0$ , при  $i \neq j$ ;  $\langle \mathbf{u}_i, \mathbf{u}_j \rangle_C = 0$ , при  $\langle \mathbf{u}_i, \mathbf{u}_i \rangle_C = \omega_i^2$ ;  $\langle \mathbf{u}_i, \mathbf{u}_i \rangle_A = 1$ . (17)

С учетом (17) окончательные выражения для функционалов  $T$  и  $\Pi$  примут вид

$$T = \frac{1}{2} \sum_{i=1}^{\infty} (q_i')^2, \quad \Pi = \frac{1}{2} \sum_{i=1}^{\infty} \omega_i^2 (q_i)^2 - \sum_{i=1}^{\infty} \langle P, w_i \rangle q_i. \quad (18)$$

Подставляя (18) в уравнение Лагранжа (15), получим систему обыкновенных дифференциальных уравнений для нахождения функций  $q_i(t)$

$$\frac{d^2 q_i}{dt^2} + \omega_i^2 q_i = \langle P, w_i \rangle, \quad i = 1, \dots, \infty. \quad (19)$$

Пусть внешняя нагрузка равна произведению двух функций  $P(x, t) = P_1(x)P_2(t)$ , тогда решение (19) при нулевых начальных условиях имеет вид интеграла Дюамеля

$$q_i(t) = \frac{\langle P_1, w_i \rangle}{\omega_i} \int_0^t P_2(\tau) \sin(\omega_i(t - \tau)) d\tau. \quad (20)$$

Функции Грина  $\mathbf{u}_{G_j}(x, t - \tau)$  определяются с помощью уравнения Лагранжа (15), в котором внешняя нагрузка задается в виде  $P_j = \delta(x - x_j) \delta(t - \tau)$ . В этом случае

$$q_i(t - \tau) = \frac{w_i(x_j)}{\omega_i} \sin(\omega_i(t - \tau)). \quad (21)$$

Подстановкой (21) в (16) получим формулу для вычисления функций Грина

$$\mathbf{u}_{G_j}(x, t - \tau) = \sum_{i=1}^{\infty} \frac{\mathbf{u}_i(x) \mathbf{u}_i(x_j)}{\omega_i} \sin(\omega_i(t - \tau)). \quad (22)$$

Собственные формы и частоты колебаний балки С.П. Тимошенко определяются из уравнения

$$\mathbf{C}(\mathbf{u}_i) = \omega_i^2 \mathbf{A}(\mathbf{u}_i), \quad (23)$$

$$\text{где } \mathbf{A}(\mathbf{u}_i) = \left\{ \rho S w_i, \frac{\Psi_i}{c_b^2} \right\}^T.$$

В безразмерной форме уравнение (23) имеет вид

$$\mathbf{C}^*(\bar{\mathbf{u}}_i) = \bar{\omega}_i^2 \mathbf{A}^*(\bar{\mathbf{u}}_i), \quad (24)$$

$$\text{где } \bar{\omega}_i^2 = \frac{\omega_i^2 l^2}{c_k^2}, \quad \xi = \frac{x}{l}, \quad \bar{\mathbf{u}}_i = \{\bar{w}_i(\xi), \Psi_i(\xi)\}^T, \quad \bar{w}_i = \frac{w_i}{l},$$

$$\mathbf{A}^*(\bar{\mathbf{u}}_i) = \left\{ \begin{array}{c} \bar{w}_i \\ c_k^2 \Psi_i \\ c_b^2 \Psi_i \end{array} \right\}, \quad \mathbf{C}^*(\bar{\mathbf{u}}_i) = \left\{ \begin{array}{c} -\frac{\partial^2 \bar{w}_i}{\partial \xi^2} + \frac{\partial \Psi_i}{\partial \xi} \\ -\frac{\partial^2 \Psi_i}{\partial \xi^2} - C c_k^2 l^2 \left( \frac{\partial \bar{w}_i}{\partial \xi} - \Psi_i \right) \end{array} \right\}.$$

Собственные формы балки С.П. Тимошенко определяются из уравнения (24) методом последовательных приближений [7] с помощью уравнения

$$\mathbf{C}^*(\bar{\mathbf{u}}^k) = \mathbf{A}^*(\bar{\mathbf{u}}^{k-1}) \quad (25)$$

В расчетах система двух уравнений второго порядка (25) заменяется системой четырех уравнений первого порядка

$$\frac{d\mathbf{V}}{d\xi} = \mathbf{K}\mathbf{V} + \mathbf{S}. \quad (26)$$

$$\text{где } \mathbf{V} = \left\{ \bar{w}_i^k, \frac{\partial \bar{w}_i^k}{\partial \xi}, \Psi_i^k, \frac{\partial \Psi_i^k}{\partial \xi} \right\}^T, \quad \mathbf{S} = \left\{ 0, -\bar{w}_i^{k-1}, 0, -\frac{c_k^2}{c_b^2} \Psi_i^{k-1} \right\}^T,$$

$$\mathbf{K} = \begin{bmatrix} 0 & 1 & 0 & 0 \\ 0 & 0 & 0 & 1 \\ 0 & 0 & 0 & 1 \\ 0 & -C \cdot c_k^2 \cdot l^2 & C \cdot c_k^2 \cdot l^2 & 0 \end{bmatrix}.$$

Система (25) решается методом прогонки по схеме Годунова, которая предусматривает ортонормирование и ортогонализацию векторов в процессе интегрирования.

Собственные частоты определяются по формуле Релея [7].

В качестве примера рассматриваются свободные колебания балки с одной ОС. Длина и ширина балки соответственно равны  $l = 0,27$  м и  $b = 0,02$  м. Один конец балки заделан, а другой свободен. ОС расположена на свободном краю балки и имеет форму сфе-

рической поверхности диаметром 0,01 м. Физические параметры балки и ОС следующие:  $E = 210$  ГПа;  $\mu = 0,27$ . Начальная деформация балки обеспечивалась сосредоточенной силой, приложенной к свободному краю. Эта сила создавала на свободном конце балки перемещение равное 5 мм. Зазор  $\Delta_0$  между недеформированной балкой и ОС принимался равным нулю.

Результаты расчетов приведены на рис. 1–2. На рис. 1 представлены реакции  $R$  в ОС на первом ее взаимодействии с балкой. Толщины балки  $h$  принимались равными 5 и 10 мм. На рис. 2 показано изменение зазора между балкой и ОС.

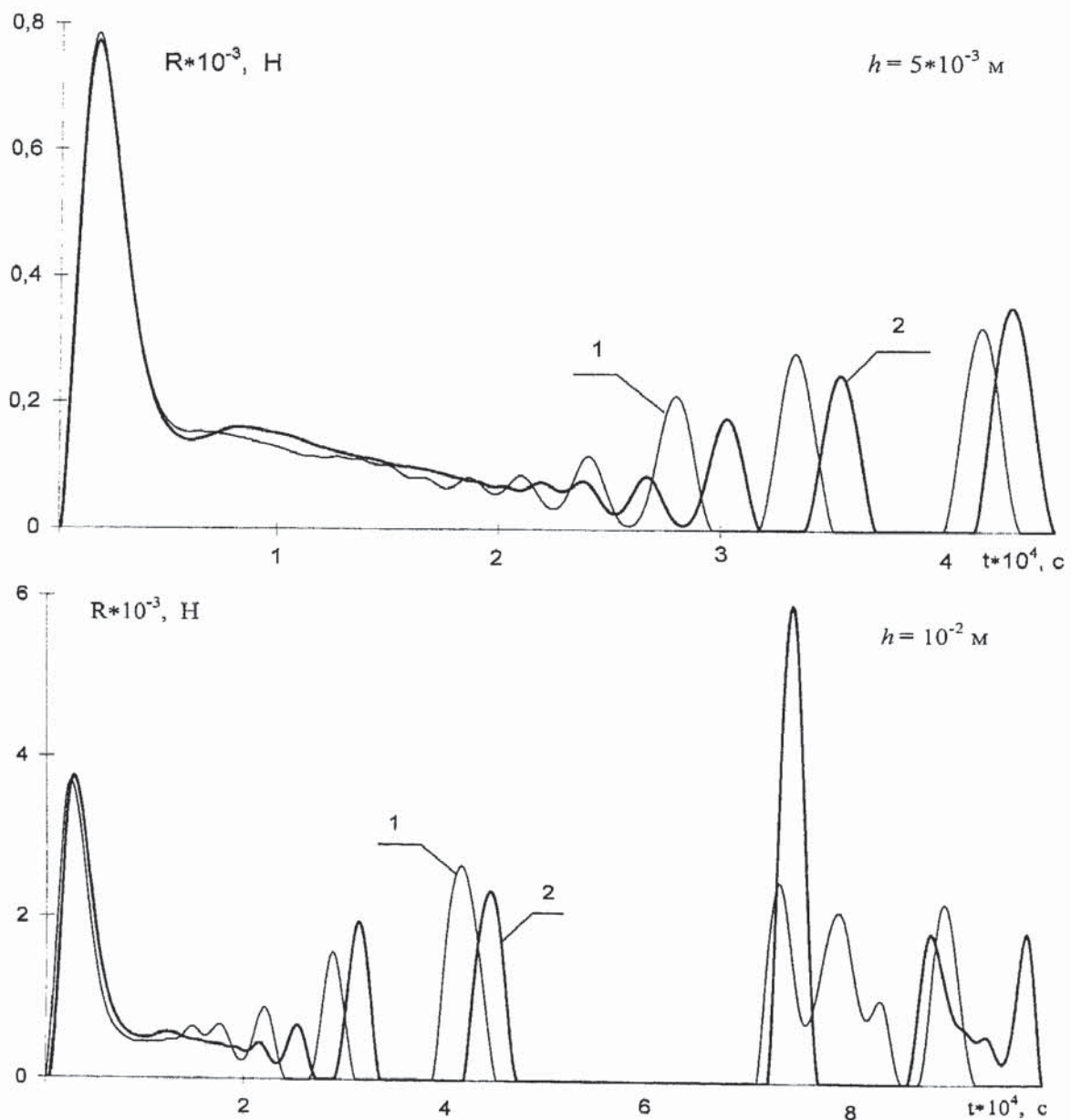


Рис. 1. Влияние инерции вращения сечений балки и деформации поперечного сдвига на реакцию в ОС: 1 (2) - расчет без учета (с учетом) инерции вращения сечений и деформации поперечного сдвига



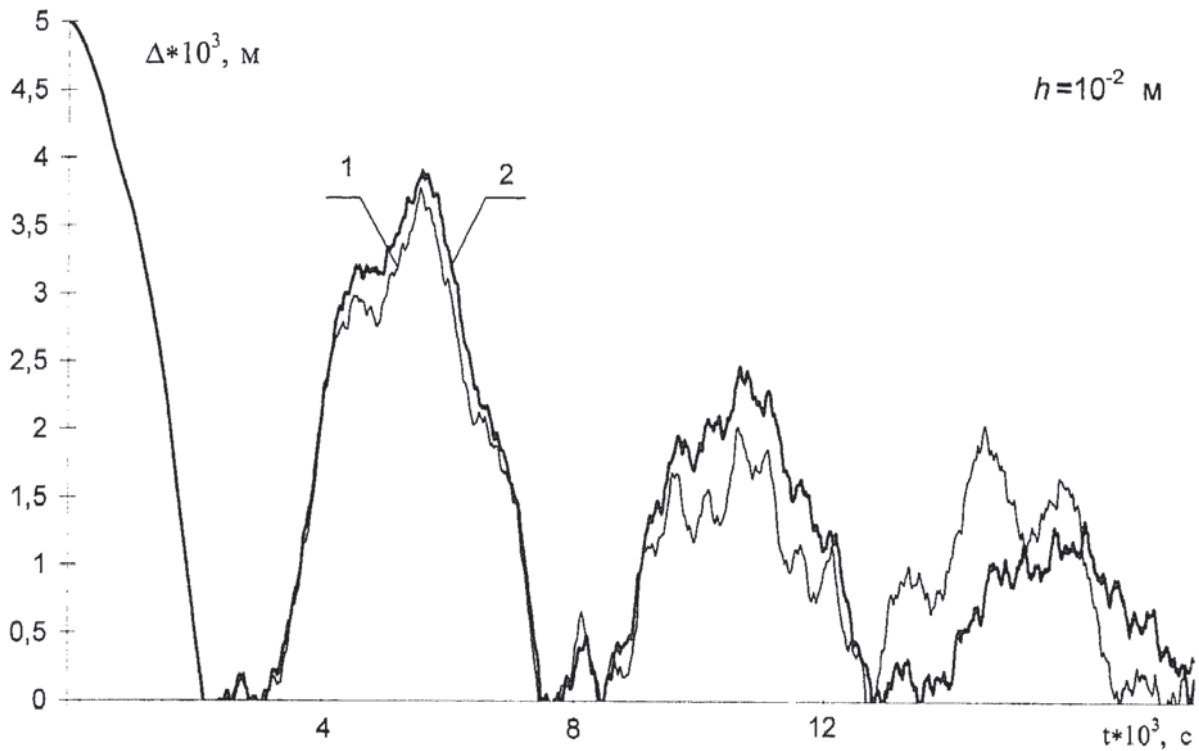


Рис. 2. Влияние инерции вращения сечений балки и деформации поперечного сдвига на зазор  $\Delta$  между балкой и ОС: 1 (2) - расчет без учета (с учетом) инерции вращения сечений и деформации поперечного сдвига

При определении функций  $\mathbf{u}_{G_j}(x, t - \tau)$ ,  $\mathbf{u}_0(x, t)$ ,  $\mathbf{u}_p(x, t)$  бесконечные ряды заменяются конечными. От числа удерживаемых членов ряда  $N$  зависит точность расчета. Необходимое значение  $N$  определяется путем численного исследования сходимости решения.

Точность расчета определялась по силе взаимодействия балки с ОС  $R_N(t)$ . Сходимость функционального ряда  $R_N(t)$  оценивалась коэффициентом

$$\delta_N = \frac{\int_0^T |R_N(t) - R_{150}| dt}{\int_0^T R_{150}(t) dt} 100\%, \quad (23)$$

где  $R_N(t)$ ,  $R_{150}(t)$  – реакции в ОС, которые определялись при учете в решении  $N$  и 150 членов ряда, соответственно,  $T$  – время первого взаимодействия балки с ОС.

На рис. 3 представлены зависимости  $\delta_N(N)$ , полученные для различных значений толщин балки  $h$ .

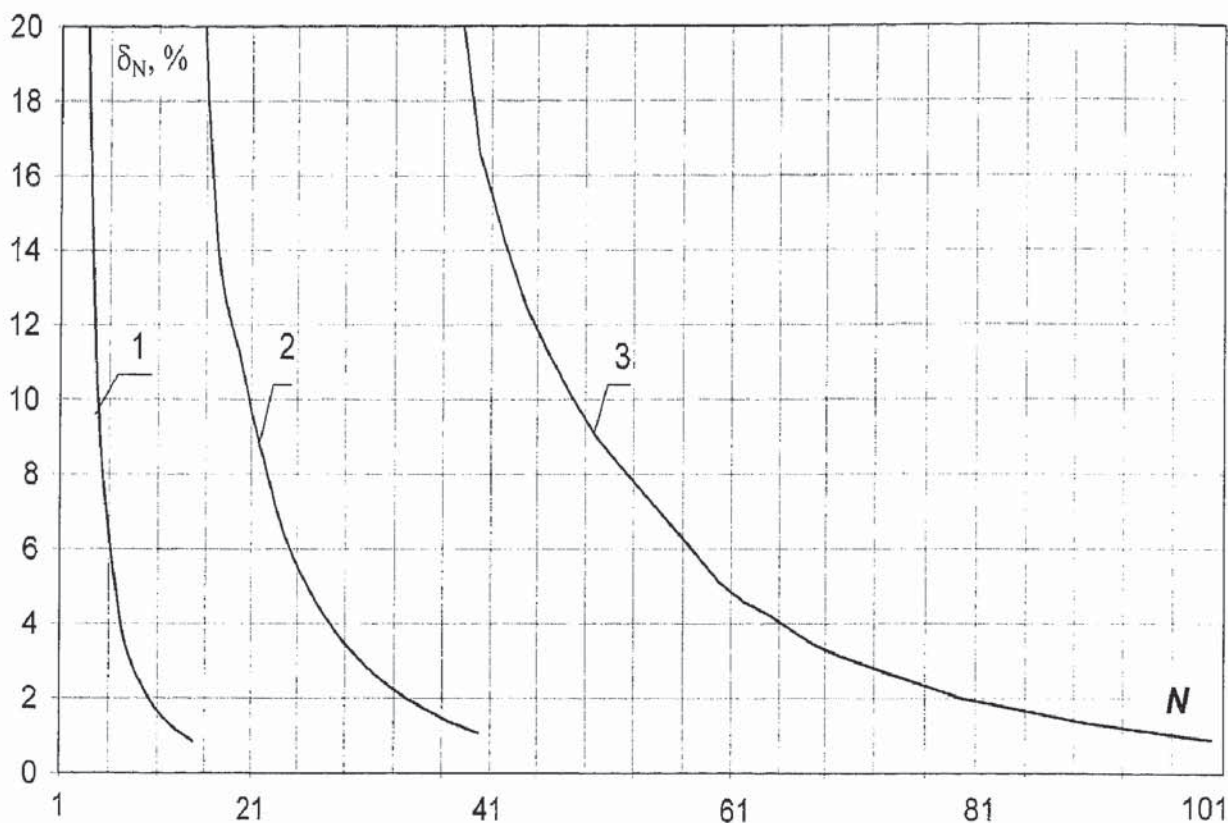


Рис. 3. Сходимость решения в зависимости от числа удерживаемых в решении членов ряда  $N$ :  $1 - h = 10^{-2}$  м;  $2 - h = 5 \cdot 10^{-3}$  м;  $3 - h = 2 \cdot 10^{-3}$  м

Другим параметром, определяющим точность расчета, является интервал времени  $\Delta t$  между узловыми точками.

Относительная точность определения реакции в ОС оценивалась параметром  $\delta_t$ :

$$\delta_t = \frac{\int_0^T |R_1(t) - R_{0,5}| dt}{\int_0^T R_1(t) dt} \cdot 100\%, \quad (24)$$

где  $R_1(t)$ ,  $R_{0,5}(t)$  – реакция в ОС, определяемая при шаге между узловыми точками равном  $\Delta t$  и  $\frac{\Delta t}{2}$  соответственно.

На рис 4. представлена зависимость  $\delta_i(\Delta t)$ , полученная для балки толщиной  $h = 5 \text{ мм}$ .

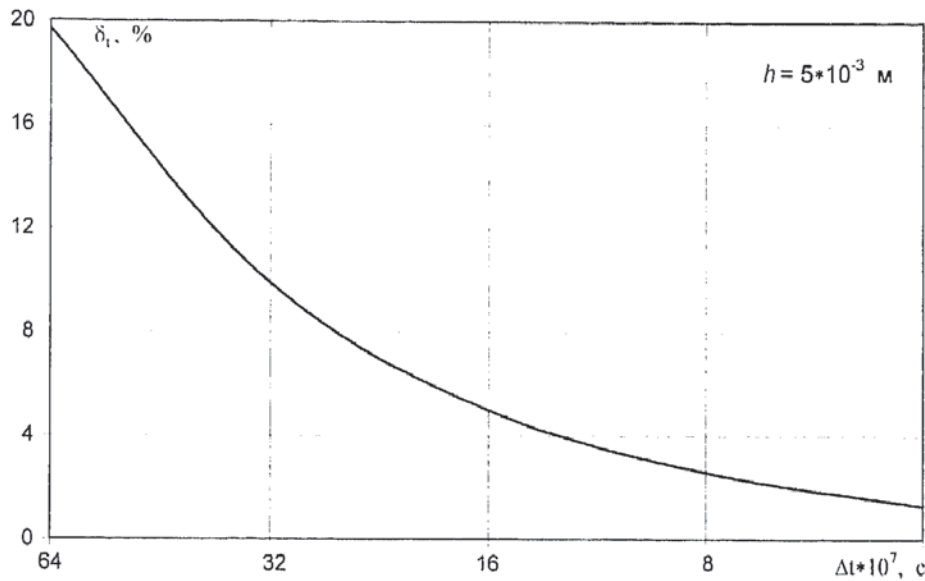


Рис. 4. Сходимость решения в зависимости от шага  $\Delta t$

## ВЫВОДЫ

1. Предложена методика расчета колебаний балки с ОС, учитывающая деформацию поперечного сдвига и инерцию вращения сечений балки.

2. Установлено, что:

а) если жесткость ОС на несколько порядков выше жесткости балки, то инерция вращения сечений и деформация поперечного сдвига сильно влияет на реакции в ОС и колебания балки даже при малых значениях  $\frac{h}{l}$ ;

б) учет инерции вращения сечений и деформации поперечного сдвига уменьшает амплитуду высокочастотных осцилляций реакции в ОС;

в) для определения реакции в ОС с точностью  $\approx 1 \div 3\%$  необходимо шаг

$\Delta t$  принимать равным  $\frac{2\pi}{12\omega_{\max}}$ , где  $\omega_{\max}$  – максимальная собственная частота

балки, используемая в решении ( $\omega_{\max} = \omega_N$  определяется путем численного исследования сходимости решения (рис.3).

## СПИСОК ЛИТЕРАТУРЫ

1. Кохманюк С.С. Динамика конструкций при воздействии кратковременных нагрузок / С.С. Кохманюк, А.С. Дмитриев, Г.А. Шелудько, А.Н. Шупиков и др. – Киев: Наукова думка, 1989. – 304 с.
2. Баженов В.А. Устойчивость и колебания деформируемых систем с односторонними связями / В.А. Баженов, Е.А. Гоцуляк, Г.С. Кондаков, А.И. Оглобля. – Киев: Выща школа. Головное изд-во, 1989. – 399 с.
3. Люминарский И.Е. Расчет колебаний упругих систем с инерционными односторонними связями // Известия вузов. Машиностроение. – 2006. – №6. – С. 8–14.
4. Тимошенко С.П. Колебания в инженерном деле. – М.; Л.: Машиностроение, 1967. – 444 с.
5. Марчук Г.И. Методы вычислительной математики: Учеб. пособие. – 3-е изд., перераб. и доп. – М.: Наука. Физматлит, 1989. – 608 с.
6. Рабинович И.М. Вопросы теории статического расчета сооружений с односторонними связями. – М.: Стройиздат, 1975. – 145 с.
7. Вибрации в технике: Справочник. В 6т. / Под ред. К.В. Фролова. – М.: Машиностроение, 1999. – Т.1. – 504 с.